

九州大学

正員

松下 博通

々

正員

牧角 龍惠

々

学生員

○郡山 貢一

## 1. まえがき

水中におけるコンクリートの疲労寿命は、空中のそれに比べてかなり低下する。その理由として界面張力の差により空中より水中の方がひびわれが進展しやすいことが考えられる。これらの破壊機構の差異を検討するため、本研究では、水中においても確実にひずみ測定を行える方法を用いて、水中で繰り返し応力を受けるコンクリートの継ひずみおよび横ひずみを測定することによりそのひずみ性状をとらえ、空中試験と比較しながらエネルギー的考察を行ったものである。

## 2. 実験概要

実験には $\gamma=63\%$ のコンクリートで、 $\phi 75 \times 15\text{cm}$ の円柱供試体を用い、ひずみゲージは長期間水中での測定が可能なように、防水性および絶縁性を確保するため図-1に示すようなコーティングを行い、供試体は試験前に2日以上水中に浸漬した。疲労試験は、載荷速度が $300\text{t}/\text{P.M}$ の正弦変化荷重とし、その大きさは静的強度に対する応力の比から求め、最小応力比は $10\%$ 、 $30\%$ および $50\%$ とし、最大応力比は $55\sim 85\%$ の間で変化させた。測定は任意回数繰り返し後に疲労試験機を止め、荷重を完全に除荷した後静的に最大応力までの大きさの荷重を加えて、その各荷重段階での継ひずみおよび横ひずみを測定した。

## 3. 变形性状および考察

図-2に結果の一例として、最小応力比 $10\%$ の水中と空中における継ひずみの、最大と残留の繰り返し回数比に対する変化を示す。これより水中においても空中と同様に、繰り返しの初期にひずみの増加が激しい遷移領域、ひずみが安定して一定の勾配で増加している定常領域およびひずみが急激に増加して破壊に至る加速領域の3段階を経ており、性状的には顕著な差はみられない。図-3に水中および空中における定常領域でのひずみ速度と疲労寿命の関係を示す。これより水中においても $\log \dot{\epsilon}$ と $\log N$ は比例関係にあり、その勾配も空中と同様ほぼ $-1$ 程度となっている。このことより空中および水中いずれの場合も $\dot{\epsilon}N$ が一定値となった時点で破壊につながる加速領域が始まると考え

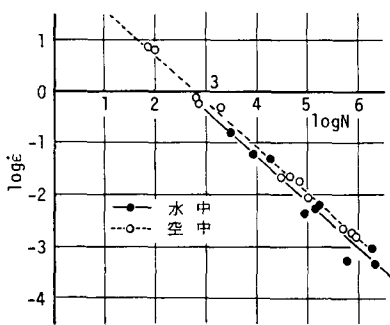
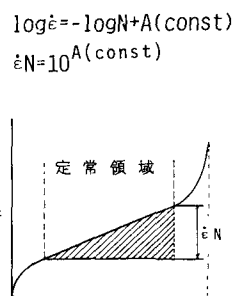


図-3 ひずみ速度と疲労寿命の関係



$$\log \dot{\epsilon} = -\log N + A(\text{const})$$

$$\dot{\epsilon} = 10^{-A(\text{const})}$$

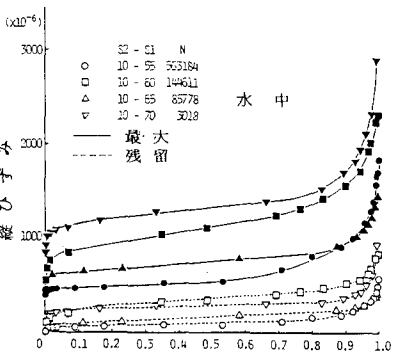


図-2 縦ひずみの変化（水中）

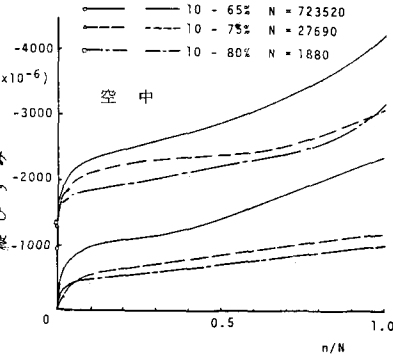


図-2 縦ひずみの変化（空中）

られるが、同じ応力比で比べると水中と空中ではひずみ速度の大きさに顕著な差がみられる。このひずみ増加はコンクリート内部のひびわれ量に影響されることから、水中と空中では破壊に至る過程は同一であっても形成されるひびわれの量が異なることが予想される。

#### 4. エネルギー的考察

次にひびわれ形成に要されるエネルギー量の点から考察してみる。図-4に繰り返し応力を受けるコンクリートの応力ひずみ曲線の模式図を示す。この応力 $\sigma_1$ ～ $\sigma_2$ 間のヒステリシスカーブの面積 $W_j$ （面積 $A'B'C'D'$ ）は、供試体内部に生じているひびわれの進展や、ひびわれ部の粘性摩擦による熱エネルギーとして消費されるエネルギー量（損失エネルギー）を表し、その量は

ほぼひびわれ量に比例するものと考えられる。そこで、この $W_j$ の経時変化を調べ、疲労破壊過程を考察する。

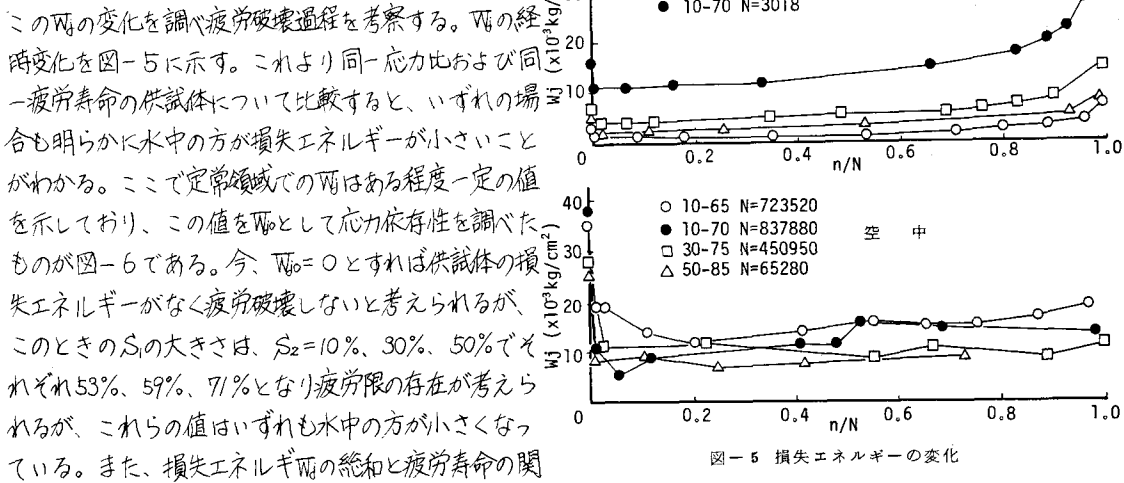


図-4 応力-ひずみ曲線の模式図

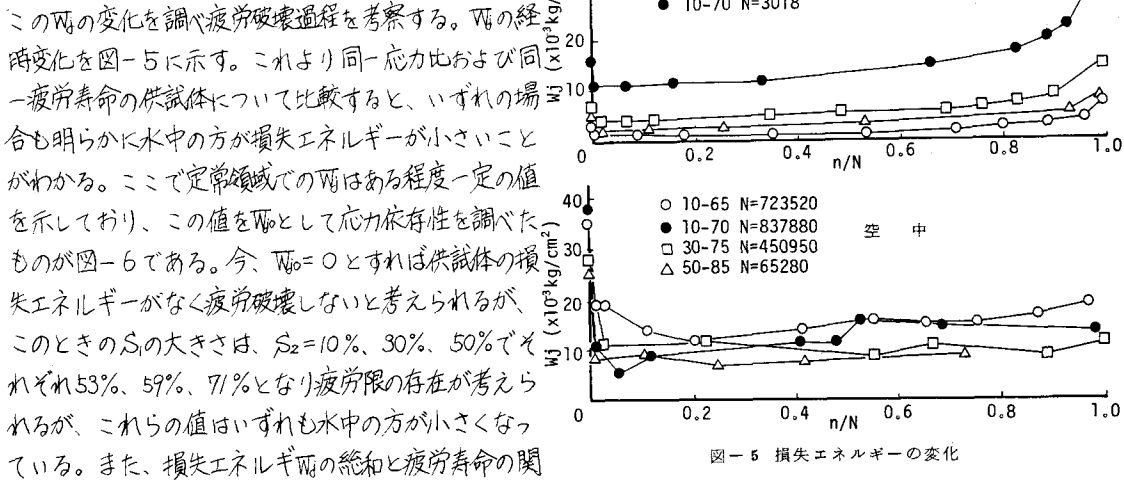


図-5 損失エネルギーの変化

このときの $S_1$ の大きさは、 $S_2=10\%, 30\%, 50\%$ でそれぞれ $53\%, 59\%, 71\%$ となり疲労限の存在が考えられるが、これらの値はいずれも水中の方が小さくなっている。また、損失エネルギーの総和と疲労寿命の関係を空中と水中で比較したものを図-7に示す。これより、同一繰り返し回数で破壊している場合の損失エネルギー量は水中の方が小さくなることがわかる。さらに繰り返し応力により描かれる応力-ひずみ曲線の面積（図-4の面積 $ABCD$ ）についても比較すると、表-1に示すように同一応力比および同一疲労寿命においても明らかに水中の方が小さくなっている。以上のことより、水中におけるコンクリートの破壊機構すなわちひびわれの進展状況は空中と同様であるとみなせるが、その破壊に至るエネルギー量というものは空中より少ない、すなわち小さなエネルギーで破壊が生じると考えられ、このことが空中より水中の方が疲労寿命がかなり小さくなる原因であると考えられる。

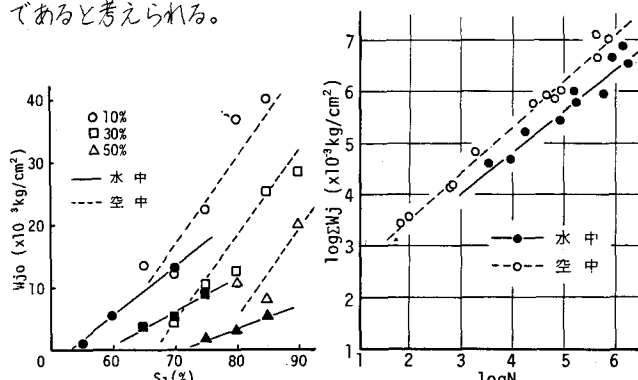


図-6  $S_1$ と $W_{j0}$ の関係

図-7  $\Sigma W_{j0}$ と疲労寿命の関係

表-1  $\Sigma W_{j0}$ および面積ABCD

S (%)	In the air			In the water		
	N	$\Sigma W_j$	面積 ABCD	N	$\Sigma W_j$	面積 ABCD
10-55	563184	$9.86 \times 10^4$	244.0			
	144611	$8.46 \times 10^4$	330.6			
	85778	$2.77 \times 10^5$	209.9			
	3018	$4.45 \times 10^4$	502.3			
	723520	$1.35 \times 10^7$	715.6			
	837880	$1.29 \times 10^7$	714.6			
30-65	27690	$6.98 \times 10^3$	497.7			
	1880	$7.51 \times 10^4$	589.0			
	100	$3.84 \times 10^4$	580.0			
	2600000	$2.87 \times 10^7$	497.7	1878521	$7.29 \times 10^6$	517.1
	450950	$1.01 \times 10^7$	675.0	920224	$4.61 \times 10^6$	442.4
	90030	$2.11 \times 10^6$	708.0	10667	$1.64 \times 10^6$	412.9
50-75	660	$2.46 \times 10^4$	555.0			
	71	$4.66 \times 10^3$	816.0			
				$2 \times 10^6$	$3.88 \times 10^6$	497.4
				162089	$5.51 \times 10^6$	653.2
80	65280	$3.05 \times 10^4$	861.7			
	48070	$3.08 \times 10^6$	774.4	8673	$4.94 \times 10^6$	500.5
	650	$4.82 \times 10^4$	843.8			